

*И.Н. ПЛЕЩИНСКИЙ, Н.Б. ПЛЕЩИНСКИЙ*

## ИНТЕГРАЛЬНЫЕ УРАВНЕНИЯ ЗАДАЧИ СОПРЯЖЕНИЯ ПОЛУОТКРЫТЫХ ДИЭЛЕКТРИЧЕСКИХ ВОЛНОВОДОВ

Задача дифракции электромагнитной волны на стыке полуоткрытых диэлектрических волноводов сведена к интегральным уравнениям различного вида, в том числе к регулярному интегральному уравнению относительно коэффициентов разложения поля по гармоникам непрерывного и дискретного спектра. Использован метод вспомогательной переопределенной граничной задачи. Необходимые и достаточные условия разрешимости переопределенных задач для уравнения Гельмгольца в четверти плоскости, в полуполосе и в полубесконечных слоистых областях найдены в форме зависимостей между граничными функциями.

### Введение

Задачи сопряжения волноводных структур образуют один из основных разделов волноводной электродинамики. К этой группе относятся как задачи о собственных волнах в сложных средах, так и задачи дифракции электромагнитных волн на неоднородностях различных типов, в том числе на стыках полубесконечных волноводов. В задачах дифракции задается набегающая на стык собственная волна одной из частей структуры. Нужно найти электромагнитное поле, расходящееся от стыка по отдельным волноводам (обычно в виде суммы собственных волн). При этом практически важно, например, рассчитать такой режим согласования двух волноводов, при котором энергия волн одного из них оптимально преобразуется в энергию волн другого.

Ссылки на первые публикации, посвященные теоретическим и экспериментальным исследованиям открытых диэлектрических структур, имеются в [1]. Теория диэлектрических волноводов была построена относительно недавно. До работ Хондроза и Дебая считалось, что волноводные свойства имеют только структуры с идеально проводящими элементами границ. Математические основы интегральной оптики и оптоэлектроники, свойства планарных волноводов и оптических волокон, а также перспективы их использования в различного рода устройствах изложены в монографиях и сборниках обзорных работ (напр., [2]–[5]).

Для однослойных волноводов с металлическими стенками одинакового сечения (закрытых волноводов) задача сопряжения решается достаточно просто, поскольку компоненты их собственных волн одинаково зависят от поперечных координат. Поэтому каждой собственной волне, приходящей с бесконечности, соответствует пара волн, расходящихся от стыка. Для задач сопряжения электромагнитных полей в открытых диэлектрических волноводах это не так. Такие задачи являются существенно более сложными еще и потому, что соответствующие дифференциальные операторы имеют не только дискретный, но и непрерывный спектр.

В самом общем случае условия сопряжения на стыке волноводов могут быть сведены к системе интегральных уравнений относительно искомым функций — коэффициентов разложения поля по волнам непрерывного спектра, в этих уравнениях содержатся также и искомые постоянные — коэффициенты разложения по волнам дискретного спектра. Аналитические решения

таких систем уравнений построить не удастся, а стандартные приближенные методы, как следует из анализа известных нам работ в данном направлении, оказываются слишком сложными и мало эффективными.

В [6] в разложении электромагнитных полей в волноводах слева и справа от стыка учитывались только волны дискретного спектра. В [7] использовалось приближение поверхностных волн, т. е. отраженная волна была представлена в виде суммы направляемых мод. Более строгий подход принят в [8] (также [1], гл. 9, § 5), здесь искомые амплитуды разложены по ортогональным функциям (полиномам Лагерра) и исходная задача сведена к бесконечной системе линейных алгебраических уравнений. Аналогичный метод использован в [9] при исследовании задачи дифракции электромагнитной ТЕ-волны на скачке в поперечном сечении плоского симметричного волновода, в этой работе волны непрерывного спектра были представлены в виде ряда по функциям Лагерра. При решении системы функциональных уравнений, полученной из условий сопряжения полей, применялся метод Галёркина–Ритца.

Цель данной работы — распространить метод вспомогательной переопределенной задачи на задачу о стыке диэлектрических волноводов. Этот метод был применен в [10] при исследовании задачи о ступенчатой неоднородности в волноводе с металлическими стенками, а также некоторых других задач. Обзор публикаций, посвященных различным обобщениям метода, имеется в [11]. В ([12], § 14) задача о стыке планарных диэлектрических волноводов сведена к бисингулярному интегральному уравнению, но вопрос о возможных методах его исследования остался открытым.

Основная идея метода вспомогательной переопределенной задачи состоит в следующем. Разделим сложную волноводную структуру на простые подобласти, как это принято в рамках общего метода частичных областей (или метода сшивания). В каждой подобласти построим решение вспомогательной краевой задачи для системы уравнений, описывающих электромагнитное поле. Но на части границы подобласти, вдоль которой эта подобласть сопрягается с другими, зададим больше граничных условий, чем нужно для корректной постановки задачи. Необходимые и достаточные условия разрешимости таких переопределенных задач устанавливают связи между граничными функциями. Эти условия существенно используются в дальнейшем, в [10] они были названы интегральными (или сумматорными) тождествами. Такие тождества удобно использовать при сведении исходной задачи сопряжения к интегральным уравнениям 2-го рода или при регуляризации интегральных уравнений 1-го рода.

Как известно, собственные волны планарного диэлектрического волновода разделяются на три группы: волноводные моды, излучательные моды подложки и подложково-покровные излучательные моды, причем в последней группе выделяются моды четные и моды нечетные. Волноводные моды образуют дискретный спектр, а излучательные — непрерывный. Чтобы упростить рассуждения, рассмотрим случай, когда сопрягаемые волноводы являются полуоткрытыми (металлодиэлектрическими). Пусть центральный волноводный слой ограничен снизу идеально проводящей поверхностью, а сверху — неограниченной покровной средой. Будем предполагать, что волноводная структура является однородной вдоль одной из пространственных координат и электромагнитное поле не зависит от этой координаты. Тогда задача сопряжения волноводов может быть сформулирована как граничная задача для уравнения Гельмгольца.

## 1. Задача сопряжения для уравнения Гельмгольца

Рассмотрим следующую задачу для уравнения Гельмгольца с кусочно-постоянным коэффициентом

$$\frac{\partial^2 u}{\partial x^2} + \frac{\partial^2 u}{\partial z^2} + k^2(x, z)u = 0. \quad (1)$$

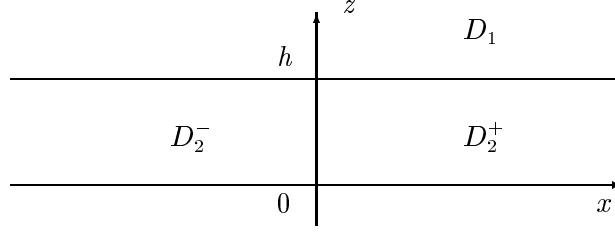


Рис. 1.

В областях  $D_1$ ,  $D_2^-$  и  $D_2^+$  (см. рис. 1) найти решение уравнения (1), удовлетворяющее граничным условиям и условиям сопряжения

$$\begin{aligned}
 u(x, 0) &= 0, \\
 u(x, h+0) - u(x, h-0) &= 0, \quad \frac{\partial u}{\partial z}(x, h+0) - \frac{\partial u}{\partial z}(x, h-0) = 0, \\
 u(z, 0+0) - u(z, 0-0) &= u_0^0(z), \quad \frac{\partial u}{\partial x}(z, 0+0) - \frac{\partial u}{\partial x}(z, 0-0) = u_1^0(z),
 \end{aligned} \tag{2}$$

а также условиям на бесконечности. Пусть коэффициент  $k(x, z)$  в различных частях плоскости принимает вещественные значения  $k_1$ ,  $k_2^+$ ,  $k_2^-$ , причем  $k_1 < k_2^+$  и  $k_1 < k_2^-$ .

Задача (1)–(2) представляет собой математическую модель процесса дифракции двумерной ( $\partial/\partial y = 0$ ) ТЕ-поляризованной собственной волны, набегающей по волноводам на стык ( $x = 0$ ). Будем считать, что зависимость компонент поля от времени имеет вид  $e^{-i\omega t}$ . Выразим ненулевые компоненты через потенциальную функцию

$$E_y = u, \quad H_x = \frac{-1}{i\omega\mu_0\mu} \frac{\partial u}{\partial z}, \quad H_z = \frac{1}{i\omega\mu_0\mu} \frac{\partial u}{\partial x}. \tag{3}$$

Заданные функции  $u_0^0(z)$ ,  $u_1^0(z)$  — следы потенциальной функции  $u^0(x, z)$  (набегающей на стык волны) и ее производной по нормали на стыке (касательных составляющих векторов  $E$  и  $H$ ). Искомая комплекснозначная функция  $u(x, z)$  — потенциальная функция рассеянного поля. Будем обозначать ее следы на стыке

$$u_0^\pm(z) = u(z, 0 \pm 0), \quad u_1^\pm(z) = \frac{\partial u}{\partial x}(z, 0 \pm 0).$$

Тогда условия сопряжения на стыке волноводов имеют вид

$$u_0^+(z) - u_0^-(z) = u_0^0(z), \quad u_1^+(z) - u_1^-(z) = u_1^0(z). \tag{4}$$

Условия на бесконечности примем следующие: искомое решение должно быть ограничено при  $z \rightarrow +\infty$  и распространяться (как волна) в направлениях  $x \rightarrow +\infty$  и  $x \rightarrow -\infty$  в полуплоскостях  $x > 0$  и  $x < 0$  соответственно. Волну назовем распространяющейся в некотором направлении, если она переносит энергию в этом направлении или (и) затухает.

В дальнейшем будут решаться две вспомогательные задачи для левой ( $x < 0$ ) и правой ( $x > 0$ ) частей рассматриваемой структуры. Эти задачи являются переопределенными, т. к. на полуоси  $z > 0$  заданы значения как решений  $u_0^\pm(z)$ , так и их производных по нормали  $u_1^\pm(z)$ . Связь между этими граничными функциями в переопределенных задачах будет использована при сведении исходной задачи дифракции к интегральным уравнениям различного вида.

## 2. Моды полуоткрытого диэлектрического волновода

Рассмотрим бесконечный в направлении оси  $x$  полуоткрытый волновод, состоящий из областей  $D_1$  и  $D_2$  (предполагается, что слой  $0 < z < h$  заполнен однородным диэлектриком,  $k_2^- = k_2^+ = k_2$ ). Найдем потенциальные функции его собственных волн вида  $u(x, z) = X(x)Z(z)$  (метод разделения переменных). В каждой из областей  $D_j$ ,  $j = 1, 2$ , должно выполняться равенство

$$\frac{X''(x)}{X(x)} + \frac{Z''(z)}{Z(z)} + k_j^2 = 0.$$

Введем комплексную постоянную разделения  $\alpha$  так, что

$$\frac{X''(x)}{X(x)} + \alpha^2 = 0, \quad \frac{Z''(z)}{Z(z)} + k_j^2 - \alpha^2 = 0. \quad (5)$$

В дальнейшем достаточно считать, что  $\alpha$  принадлежит верхней или нижней полуплоскости вместе с одной из вещественных полуосей. Тогда значения  $\alpha^2$  заполняют всю комплексную плоскость. В фундаментальной системе решений первого уравнения из (5) содержатся функции  $e^{-i\alpha x}$  и  $e^{i\alpha x}$ .

Рассмотрим подробно случай, когда при  $\alpha$  из третьего квадранта, дополненного ограничивающими его полуосями,

$$X(x) = e^{-i\alpha x}.$$

При выбранной зависимости компонент электромагнитного поля от времени вида  $e^{-i\omega t}$  эта функция определяет волну, распространяющуюся вдоль оси  $x$  (переносящую энергию при  $\text{Re } \alpha < 0$  и затухающую при  $\text{Im } \alpha < 0$ ). Если изменить знак у параметра  $\alpha$  (перевести  $\alpha$  в первый квадрант), то направление распространения решения меняется на противоположное.

Выберем однозначную непрерывную ветвь функции

$$\gamma_j(\alpha) = \sqrt{k_j^2 - \alpha^2}, \quad j = 1, 2,$$

так, чтобы в одной из точек положительной мнимой полуоси в комплексной плоскости, разрезанной по отрезку вещественной оси  $[-k_j, k_j]$ , значение ее было положительным (напр., пусть  $\gamma_j(i) = \sqrt{k_j^2 + 1}$ ). Тогда  $\gamma_j(\alpha)$  переводит третий квадрант во второй, на рис. 2 показано соответствие границ при этом отображении.

При чисто мнимом  $\alpha$  или при  $\alpha \in (-k_j, 0)$  значения  $\gamma_j(\alpha)$  вещественные и отрицательные, а при  $\alpha \in (-\infty, -k_j)$  чисто мнимые с положительной мнимой частью.

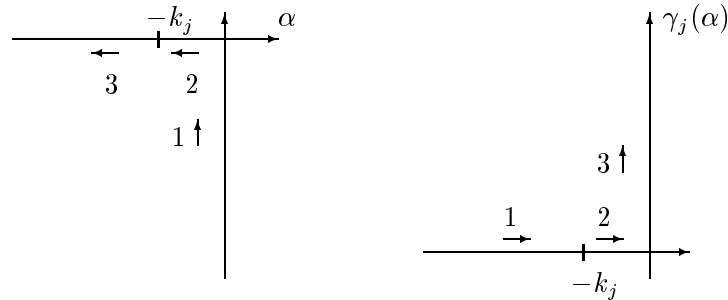


Рис. 2.

В фундаментальной системе решений второго уравнения из (5) содержатся функции  $e^{-i\gamma_j(\alpha)z}$  и  $e^{i\gamma_j(\alpha)z}$ , поэтому  $Z(z) = c_1 e^{-i\gamma_2(\alpha)z} + c_2 e^{i\gamma_2(\alpha)z}$  в области  $D_2$ . В области  $D_1$  при вещественном  $\gamma_1(\alpha)$  также имеем  $Z(z) = c_1 e^{-i\gamma_1(\alpha)z} + c_2 e^{i\gamma_1(\alpha)z}$  (отдельные слагаемые определяют уходящие и приходящие решения, но каждое из них ограничено на бесконечности). При  $\text{Im } \gamma_1(\alpha) \neq 0$  в общем решении остается только второе слагаемое, затухающее на бесконечности.

Пусть  $\alpha \in (-i\infty, i0)$  или  $\alpha \in (-k_1, 0)$ . При этом значения  $\gamma_1(\alpha)$  и  $\gamma_2(\alpha)$  вещественные (по предположению  $k_1 < k_2$ ). Тогда  $Z(z) = Ae^{-i\gamma_1(\alpha)(z-h)} + Be^{i\gamma_1(\alpha)(z-h)}$  при  $z > h$  (смещение  $z$  на  $h$  введено для удобства) и  $Z(z) = Ce^{-i\gamma_2(\alpha)z} + De^{i\gamma_2(\alpha)z}$  при  $0 < z < h$ . Из граничного условия при  $z = 0$  следует  $C + D = 0$ , тогда  $Z(z) = -2iC \sin \gamma_2(\alpha)z$  при  $0 < z < h$ . Условия сопряжения при  $z = h$  сводится к равенствам

$$A + B = -2iC \sin \gamma_2(\alpha)h, \quad -A + B = -2C \frac{\gamma_2(\alpha)}{\gamma_1(\alpha)} \cos \gamma_2(\alpha)h.$$

Поэтому

$$Z(z) = -2iC(\alpha)f(\alpha; z) \quad \text{и} \quad u(x, z) = -2iC(\alpha)f(\alpha; z)e^{-i\alpha x}, \quad (6)$$

где

$$f(\alpha; z) = \begin{cases} z > h : & \frac{\gamma_2(\alpha)}{\gamma_1(\alpha)} \cos \gamma_2(\alpha)h \sin \gamma_1(\alpha)(z-h) + \sin \gamma_2(\alpha)h \cos \gamma_1(\alpha)(z-h); \\ 0 < z < h : & \sin \gamma_2(\alpha)z. \end{cases} \quad (7)$$

Пусть теперь  $\alpha$  принадлежит  $(-\infty, -k_1)$  или третьему квадранту. При этом  $\text{Im } \gamma_1(\alpha) \neq 0$  и значения  $\gamma_2(\alpha)$  тоже в общем случае комплексные (они вещественные только при  $\alpha \in (-k_2, -k_1)$ ). В этом случае также  $Z(z) = -2iC \sin \gamma_2(\alpha)z$  при  $0 < z < h$ , но  $Z(z) = Be^{-\gamma_1(\alpha)(z-h)}$  при  $z > h$ . Условия сопряжения при  $z = h$  дают

$$B = -2iC \sin \gamma_2(\alpha)h, \quad i\gamma_1(\alpha)B = -2iC \cos \gamma_2(\alpha)h\gamma_2(\alpha).$$

У этой системы уравнений ненулевое решение существует тогда и только тогда, когда

$$i\gamma_1(\alpha) \sin \gamma_2(\alpha)h - \gamma_2(\alpha) \cos \gamma_2(\alpha)h = 0. \quad (8)$$

Можно показать, что характеристическое уравнение (8) имеет только конечное число вещественных корней  $\alpha_j \in (-k_2, -k_1)$ ,  $j = 1, \dots, n$ . При этом значения  $\gamma_1(\alpha_j)$  чисто мнимые с положительной мнимой частью, а значения  $\gamma_2(\alpha_j)$  вещественные. Обозначим  $i\gamma_1(\alpha_j) = -\delta_1(\alpha_j)$ ,  $\delta_1(\alpha) = \sqrt{\alpha^2 - k_1^2}$ . Таким образом, при  $\alpha = \alpha_j \in (-k_2, -k_1)$  в формуле (6)

$$f(\alpha; z) = \begin{cases} z > h : & \sin \gamma_2(\alpha)he^{-\delta_1(\alpha)(z-h)} \quad \text{или} \quad -\frac{\gamma_2(\alpha)}{\delta_1(\alpha)} \cos \gamma_2(\alpha)he^{-\delta_1(\alpha)(z-h)}; \\ 0 < z < h : & \sin \gamma_2(\alpha)z. \end{cases} \quad (9)$$

В дальнейшем не будем писать множитель  $-2i$  в формуле (6), т. к.  $C(\alpha)$  — произвольная функция параметра  $\alpha$ .

**Теорема 1.** *Решение задачи о стыке волноводов может быть найдено в виде*

$$u^\pm(x, z) = \int_{\dots\lrcorner} C^\pm(\alpha)f^\pm(\alpha; z)e^{\mp i\alpha x} d\alpha, \quad (10)$$

где  $C^\pm(\alpha)$  — некоторые функции.

В формулах (10) верхний знак относится к правой части волноводной структуры, а нижний — к левой. Направления распространения волн соответствуют условиям излучения — от стыка на бесконечность. Зависимость  $f^\pm(\alpha; z)$  от поперечной координаты задается формулой (7) для волн непрерывного спектра (двух типов) и формулой (9) для волн дискретного спектра, при этом  $k_2 = k_2^\pm$ . Знаком  $\dots\lrcorner$  (“ключка с шайбами”) обозначен сложный контур на комплексной плоскости, состоящий из мнимой отрицательной полуоси, интервала  $(-k_1, 0)$  и конечного числа

точек  $\alpha_j \in (-k_2, -k_1)$ ,  $j = 1, \dots, n$ . Поэтому функции на  $\mathbb{R}$  нужно рассматривать как функции на непрерывном спектре, дополненные конечным числом значений на дискретном спектре. Интегралы по  $\mathbb{R}$  следует понимать так:

$$\int_{\mathbb{R}} C(\alpha) f(\alpha; z) e^{\mp i \alpha x} d\alpha = \int_{\mathbb{R}} C(\alpha) f(\alpha; z) e^{\mp i \alpha x} d\alpha + \sum_{j=1}^n C_j f(\alpha_j; z) e^{\mp i \alpha_j x},$$

где  $C_j = C(\alpha_j)$ .

Обсудим, насколько правомерно искать потенциальные функции поля в полубесконечных волноводах в виде (10). Во-первых, действительно ли эти формулы дают общее решение уравнения Гельмгольца в слоистой области в классе решений, распространяющихся вправо и влево? Во-вторых, можно ли искать поле в полубесконечном волноводе в том виде, в каком оно было найдено в волноводе бесконечном?

Доказательство полноты системы собственных волн полуоткрытого волновода может быть получено и общим методом теории спектральных задач (напр., [13], гл. VI), но этот путь достаточно сложен при наличии и дискретного, и непрерывного спектра. Переход от бесконечного волновода к полубесконечному корректен в силу того, что искомое решение уравнения Гельмгольца всегда можно аналитически продолжить через прямолинейную границу (в нашем случае ось  $z$ ) ([13], с. 333).

Положительный ответ на оба поставленных вопроса получим после того, как построим общее решение уравнение Гельмгольца в полубесконечной слоистой области (смещенная четверть плоскости и полуполоса) методом интегрального преобразования Фурье. В [14] и [15] этим методом были найдены общие представления решений уравнения Гельмгольца в четверти плоскости и в слоистой плоско-параллельной среде.

### 3. Переопределенная граничная задача для уравнения Гельмгольца в смещенной четверти плоскости

Получим общее представление решений уравнения Гельмгольца в четверти плоскости

$$\frac{\partial^2 u}{\partial x^2} + \frac{\partial^2 u}{\partial z^2} + k_1^2 u = 0, \quad x > 0, \quad z > h. \quad (11)$$

Зададим переопределенные граничные условия (следы решения и его нормальной производной на границе, рис. 3)

$$u(0+0, z) = a_0(z), \quad \frac{\partial u}{\partial x}(0+0, z) = a_1(z), \quad u(x, h+0) = b_0(x), \quad \frac{\partial u}{\partial z}(x, h+0) = b_1(x). \quad (12)$$

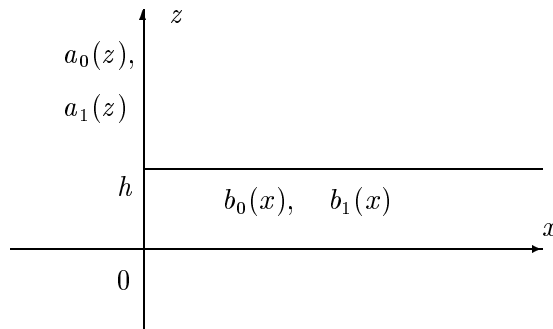


Рис. 3.

Уточним и дополним некоторые результаты, полученные в работе [14] при исследовании свойств решений уравнения Гельмгольца в квадранте.

Доопределим искомое решение нулем вне четверти плоскости и будем рассматривать как распределение медленного роста на бесконечности. Перейдем в уравнении (11) от классических производных к обобщенным и применим преобразование Фурье по всем переменным:  $x \rightarrow \xi$  и  $z \rightarrow \zeta$ . Получим, что образ Фурье искомого распределения должен удовлетворять уравнению

$$2\pi(k_1^2 - \xi^2 - \zeta^2)u(\xi, \zeta) = a_1(\zeta) - i\xi a_0(\zeta) + e^{ih\zeta} [b_1(\xi) - i\zeta b_0(\xi)]. \quad (13)$$

Это уравнение нужно решить так, чтобы получилось  $u(x, z) = 0$  при  $x < 0$  и  $z < h$  (или, что одно и то же в соответствии с теоремой Винера–Пэли, чтобы  $u(\xi, \zeta)$  было аналитически продолжимо по  $\xi$  и  $\zeta$  в верхние полуплоскости комплексных плоскостей переменных  $\xi$  и  $\zeta$  соответственно).

**Теорема 2.** *Распределение  $u(x, z)$  есть решение переопределенной граничной задачи (11), (12) тогда и только тогда, когда*

$$\begin{aligned} a_1(\gamma_1(\xi)) - i\xi a_0(\gamma_1(\xi)) + e^{i\gamma_1(\xi)h} [b_1(\xi) - i\gamma_1(\xi)b_0(\xi)] &= 0, & \xi \in (-\infty, -k_1) \cup (-k_1, 0), \\ a_1(-\gamma_1(\xi)) - i\xi a_0(-\gamma_1(\xi)) + e^{-i\gamma_1(\xi)h} [b_1(\xi) + i\gamma_1(\xi)b_0(\xi)] &= 0, & \xi \in (0, k_1) \cup (k_1, +\infty) \end{aligned} \quad (14)$$

и

$$\begin{aligned} a_1(\zeta) - i\gamma_1(\zeta)a_0(\zeta) + e^{ih\zeta} [b_1(\gamma_1(\zeta)) - i\zeta b_0(\gamma_1(\zeta))] &= 0, & \zeta \in (-\infty, -k_1) \cup (-k_1, 0), \\ a_1(\zeta) + i\gamma_1(\zeta)a_0(\zeta) + e^{ih\zeta} [b_1(-\gamma_1(\zeta)) - i\zeta b_0(-\gamma_1(\zeta))] &= 0, & \zeta \in (0, k_1) \cup (k_1, +\infty). \end{aligned} \quad (15)$$

**Доказательство.** Пусть  $u(x, z)$  — решение задачи. Тогда его образ Фурье удовлетворяет уравнению (13). Поделим обе части (13) на  $k_1^2 - \xi^2 - \zeta^2$ . Получим

$$\frac{b_1(\xi) - i\zeta b_0(\xi)}{k_1^2 - \xi^2 - \zeta^2} = \frac{B_1(\xi)}{\zeta - \gamma_1(\xi)} + \frac{B_2(\xi)}{\zeta + \gamma_1(\xi)},$$

где

$$B_1(\xi) = \frac{-b_1(\xi) + i\gamma_1(\xi)b_0(\xi)}{2\gamma_1(\xi)}, \quad B_2(\xi) = \frac{b_1(\xi) + i\gamma_1(\xi)b_0(\xi)}{2\gamma_1(\xi)}.$$

При комплексных корнях  $\pm\gamma_1(\xi)$  полинома дроби  $\frac{1}{\zeta \mp \gamma_1(\xi)}$  — обычные функции, а при вещественных корнях ( $-k_1 < \xi < k_1$ ) — распределения  $\frac{1}{\zeta + i0 \mp \gamma_1(\xi)}$ . Во втором случае деление проводится методом выхода в верхнюю полуплоскость комплексной плоскости  $\zeta$ .

Так как

$$a_j(\zeta) = \frac{1}{\sqrt{2\pi}} \int_h^{+\infty} a_j(z_1) e^{iz_1\zeta} dz_1,$$

то в силу формулы

$$\frac{1}{k_1^2 - \xi^2 - \zeta^2} = \frac{1}{2\gamma_1(\xi)} \left[ -\frac{1}{\zeta - \gamma_1(\xi)} + \frac{1}{\zeta + \gamma_1(\xi)} \right]$$

имеем

$$\frac{a_1(\zeta) - i\xi a_0(\zeta)}{k_1^2 - \xi^2 - \zeta^2} = \frac{1}{\sqrt{2\pi}} \int_h^{+\infty} \frac{a_1(z_1) - i\xi a_0(z_1)}{2\gamma_1(\xi)} \left[ -\frac{1}{\zeta - \gamma_1(\xi)} + \frac{1}{\zeta + \gamma_1(\xi)} \right] e^{iz_1\zeta} dz_1.$$

Выполним обратное преобразование Фурье по  $\zeta \rightarrow z$  и найдем выражения для  $u(\xi, z)$  при  $z < h$  для различных диапазонов изменения  $\xi$ . Получим при  $\xi < -k_1$

$$u(\xi, z) = -ie^{-i\gamma_1(\xi)z} \frac{1}{2\gamma_1(\xi)} [a_1(\gamma_1(\xi)) - i\xi a_0(\gamma_1(\xi)) + e^{i\gamma_1(\xi)h} [b_1(\xi) - i\gamma_1(\xi)b_0(\xi)]]$$

и при  $\xi > k_1$

$$u(\xi, z) = ie^{i\gamma_1(\xi)z} \frac{1}{2\gamma_1(\xi)} [a_1(-\gamma_1(\xi)) - i\xi a_0(-\gamma_1(\xi)) + e^{-i\gamma_1(\xi)h} [b_1(\xi) + i\gamma_1(\xi)b_0(\xi)]]$$

(и нуль в остальных случаях). Следовательно, если  $u(\xi, z) = 0$  при  $z < h$ , то условия (14) выполняются при  $\xi < -k_1$  и  $\xi > k_1$ .

Аналогично, если  $u(x, \zeta) = 0$  при  $x < 0$ , то условия (15) выполняются при  $\zeta < -k_1$  и  $\zeta > k_1$  соответственно. Чтобы убедиться в этом, достаточно переставить местами  $x$  и  $y$ ,  $\xi$  и  $\zeta$ ,  $a$  и  $b$ ,  $A$  и  $B$ .

Продолжим полученные равенства на интервалы  $(-k_1, 0)$  и  $(0, k_1)$ . Покажем, что условия (14) при  $|\xi| > k_1$  и условия (15) при  $|\zeta| > k_1$  равносильны. Для этого уточним некоторые свойства функции  $\gamma_1(\xi)$ . На рис. 4 показано, как преобразуются квадранты комплексной плоскости и их границы при преобразовании  $\pm\gamma_1(\xi)$ .

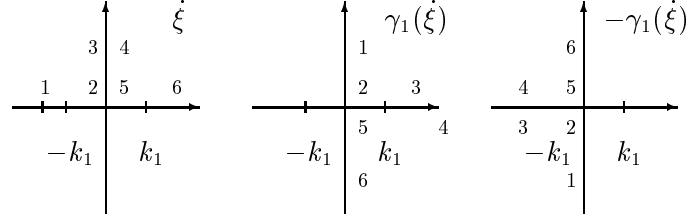


Рис. 4.

Рассмотрим первое равенство из (14) при  $\xi < -k_1$  и продолжим его по  $\xi$  в верхнюю полуплоскость  $\xi$ , точнее, в квадрант II. (Но не дальше, т. к. при  $\xi \in \text{II}$  имеем  $\gamma_1(\xi) \in \text{I}$ ; нельзя продолжить  $\xi$  в квадрант I, т. к. при этом  $\gamma_1(\xi)$  попадет в квадрант IV.) Поэтому

$$a_1(\gamma_1(\xi)) - i\xi a_0(\gamma_1(\xi)) + e^{i\gamma_1(\xi)h} [b_1(\xi) - i\gamma_1(\xi)b_0(\xi)] = 0, \quad \xi \in \text{II} \quad \{\text{и тогда } \gamma_1(\xi) \in \text{I}\}.$$

Здесь и дальше римскими цифрами обозначены квадранты комплексной плоскости. Если  $\xi \rightarrow \xi \in (-k_1, 0)$ , то получим первое равенство из (14) при  $\xi \in (-k_1, 0)$ . Теперь переведем  $\xi$  на мнимую положительную полуось (рис. 4, участок границы 3), пусть  $\xi \rightarrow -\gamma_1(\zeta)$ ,  $\zeta > k_1$ . При этом  $\gamma_1(-\gamma_1(\zeta)) = \zeta$  (только если  $\zeta > k_1$ ). Таким образом, получили второе равенство из (14):

$$a_1(\zeta) + i\gamma_1(\zeta)a_0(\zeta) + e^{i\zeta h} [b_1(-\gamma_1(\zeta)) - i\zeta b_0(-\gamma_1(\zeta))] = 0, \quad \zeta > k_1.$$

Другие случаи рассматриваются аналогично.

С другой стороны, если условия (14) и (15) выполнены (хотя бы в малой части соответствующих интервалов), то решение уравнения (13) будет образом Фурье некоторой функции  $u(x, z)$ , равной нулю при  $x < 0$  и  $z < h$ . Эта функция, в свою очередь, является решением исходной переопределенной задачи.

Заметим, что в [14] условия разрешимости переопределенной задачи в квадранте  $x > 0$ ,  $z > 0$  были записаны в комплексной области при  $\xi \in \text{I}$  и  $\xi \in \text{II}$ .

Рассмотрим теперь структуру решения  $u(x, z)$  задачи Коши при  $x > 0$ ,  $z > h$ . Так как

$$2\pi u(\xi, \zeta) = \frac{A_1(\zeta)}{\xi - \gamma_1(\zeta)} + \frac{A_2(\zeta)}{\xi + \gamma_1(\zeta)} + e^{ih\zeta} \frac{B_1(\xi)}{\zeta - \gamma_1(\xi)} + e^{ih\zeta} \frac{B_2(\xi)}{\zeta + \gamma_1(\xi)},$$

то при  $x > 0$ ,  $z > h$  (обратные преобразования Фурье можно проводить в любом порядке)

$$\begin{aligned} \sqrt{2\pi}iu(x, z) &= \int_{-\infty}^{-k_1} A_2(\zeta)e^{i\gamma_1(\zeta)x}e^{-i\zeta z}d\zeta + \int_{k_1}^{+\infty} A_1(\zeta)e^{-i\gamma_1(\zeta)x}e^{-i\zeta z}d\zeta + \int_{-k_1}^{k_1} [A_1(\zeta)e^{-i\gamma_1(\zeta)x} + \\ &+ A_2(\zeta)e^{i\gamma_1(\zeta)x}]e^{-i\zeta z}d\zeta + \int_{-\infty}^{-k_1} B_2(\xi)e^{i\gamma_1(\xi)(z-h)}e^{-i\xi x}d\xi + \\ &+ \int_{k_1}^{+\infty} B_1(\xi)e^{-i\gamma_1(\xi)(z-h)}e^{-i\xi x}d\xi + \int_{-k_1}^{k_1} [B_1(\xi)e^{-i\gamma_1(\xi)(z-h)} + B_2(\xi)e^{i\gamma_1(\xi)(z-h)}]e^{-i\xi x}d\xi. \end{aligned}$$



В отдельных слагаемых в правой части собраны элементарные гармоники с различным поведением при  $z \rightarrow +\infty$  и  $x \rightarrow +\infty$ . Четыре “длинных” интеграла (по бесконечным промежуткам) содержат затухающие волны: первые два при  $z \rightarrow +\infty$  и другие два при  $x \rightarrow +\infty$ . В “коротких” интегралах по промежутку от  $-k_1$  до  $k_1$  содержатся волны, распространяющиеся в различных направлениях.

“Короткие” интегралы можно переписать в виде

$$\begin{aligned} \int_{-k_1}^0 \left\{ \left[ e^{i\gamma_1(\xi)h} B_1(\xi) - A_2(\gamma_1(\xi)) \frac{\xi}{\gamma_1(\xi)} \right] e^{-i\gamma_1(\xi)z} + \right. \\ \left. + \left[ e^{-i\gamma_1(\xi)h} B_2(\xi) - A_2(-\gamma_1(\xi)) \frac{\xi}{\gamma_1(\xi)} \right] e^{i\gamma_1(\xi)z} \right\} e^{-i\xi x} d\xi + \\ + \int_0^{k_1} \left\{ \left[ e^{i\gamma_1(\xi)h} B_1(\xi) + A_1(\gamma_1(\xi)) \frac{\xi}{\gamma_1(\xi)} \right] e^{-i\gamma_1(\xi)z} + \right. \\ \left. + \left[ e^{-i\gamma_1(\xi)h} B_2(\xi) + A_1(-\gamma_1(\xi)) \frac{\xi}{\gamma_1(\xi)} \right] e^{i\gamma_1(\xi)z} \right\} e^{-i\xi x} d\xi. \end{aligned}$$

Делается это с помощью замены переменных в интегралах. Например,

$$\int_{-k_1}^0 A_1(\zeta) e^{-i\gamma_1(\zeta)x} e^{-i\zeta z} d\zeta = \int_0^{k_1} A_1(-\gamma_1(\xi)) \frac{\xi}{\gamma_1(\xi)} e^{i\gamma_1(\xi)z} e^{-i\xi x} d\xi,$$

т. к. при  $\zeta \in (-k_1, 0)$  и  $\xi = \gamma_1(\zeta) = \sqrt{k_1^2 - \zeta^2} \in (0, k_1)$  имеем  $\zeta = -\gamma_1(\xi) = -\sqrt{k_1^2 - \xi^2}$  и  $d\zeta = \xi d\xi / \gamma_1(\xi)$ .

Аналогично,

$$\int_0^{k_1} A_2(\zeta) e^{i\gamma_1(\zeta)x} e^{-i\zeta z} d\zeta = - \int_{-k_1}^0 A_2(\gamma_1(\xi)) \frac{\xi}{\gamma_1(\xi)} e^{-i\gamma_1(\xi)z} e^{-i\xi x} d\xi,$$

т. к. при  $\zeta \in (0, k_1)$  и  $\xi = -\gamma_1(\zeta) = -\sqrt{k_1^2 - \zeta^2} \in (-k_1, 0)$  имеем  $\zeta = \gamma_1(\xi) = \sqrt{k_1^2 - \xi^2}$  и  $d\zeta = -\xi d\xi / \gamma_1(\xi)$ .

“Длинные” интегралы тоже можно преобразовать к виду, близкому к формуле обратного преобразования Фурье. Например,

$$\int_{-\infty}^{-k_1} A_2(\zeta) e^{i\gamma_1(\zeta)x} e^{-i\zeta z} d\zeta = - \int_{-i\infty}^{-i0} A_2(\gamma_1(\alpha)) \frac{\alpha}{\gamma_1(\alpha)} e^{-i\gamma_1(\alpha)z} e^{-i\alpha x} d\alpha,$$

т. к. при  $\zeta \in (-\infty, -k_1)$  и  $\alpha = -\gamma_1(\zeta) \in (-i\infty, -i0)$  имеем  $\zeta = \gamma_1(\alpha) = \sqrt{k_1^2 - \alpha^2}$  и  $d\zeta = -\alpha d\alpha / \gamma_1(\alpha)$ .

Аналогично,

$$\int_{k_1}^{+\infty} A_1(\zeta) e^{-i\gamma_1(\zeta)x} e^{-i\zeta z} d\zeta = - \int_{-i\infty}^{-i0} A_1(-\gamma_1(\alpha)) \frac{\alpha}{\gamma_1(\alpha)} e^{i\gamma_1(\alpha)z} e^{-i\alpha x} d\alpha,$$

т. к. при  $\zeta \in (k_1, +\infty)$  и  $\alpha = \gamma_1(\zeta) \in (-i\infty, -i0)$  имеем  $\zeta = -\gamma_1(\alpha) = -\sqrt{k_1^2 - \alpha^2}$  и  $d\zeta = \alpha d\alpha / \gamma_1(\alpha)$ .

Таким образом, доказана

**Теорема 3.** Любое решение уравнение Гельмгольца в четверти плоскости можно записать в виде

$$u(x, z) = \int_{\overline{\Gamma}} U(\alpha; z) e^{-i\alpha x} d\alpha, \quad (16)$$

где интегрирование идет по контуру  $\overline{\Gamma}$ , составленному из границ третьего и четвертого квадрантов комплексной плоскости. Плотность  $U(\alpha; z)$  на отдельных частях контура определяет амплитуды гармоник с различным поведением, распространяющихся и затухающих.

#### 4. Переопределенная граничная задача для уравнения Гельмгольца в полуполосе

Рассмотрим переопределенную граничную задачу для уравнения Гельмгольца в полуполосе

$$\frac{\partial^2 u}{\partial x^2} + \frac{\partial^2 u}{\partial z^2} + k_2^2 u = 0, \quad x > 0, \quad 0 < z < h, \quad (17)$$

с граничными условиями (см. рис. 3)

$$\begin{aligned} u(0+0, z) &= c_0(z), \quad \frac{\partial u}{\partial x}(0+0, z) = c_1(z), \\ u(x, h-0) &= b_0(x), \quad \frac{\partial u}{\partial z}(x, h-0) = b_1(x), \quad u(x, 0+0) = d_0(x), \quad \frac{\partial u}{\partial z}(x, 0+0) = d_1(x). \end{aligned} \quad (18)$$

Будем искать решения, распространяющиеся в полуполосе в направлении оси  $x$ .

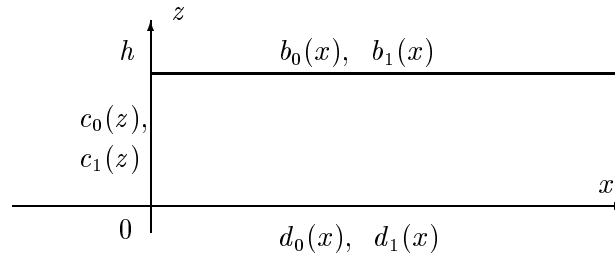


Рис. 5.

Как и в случае четверти плоскости, используем метод интегрального преобразования Фурье. Можно предвидеть, какой вид будут иметь условия разрешимости переопределенной задачи, а также какова структура ее решения, поскольку полуполоса — часть четверти плоскости.

**Теорема 4.** *Распределение  $u(x, z)$  — решение переопределенной граничной задачи (17), (18) тогда и только тогда, когда*

$$d_1(\xi) - i\gamma_2(\xi)d_0(\xi) - e^{i\gamma_2(\xi)h} [b_1(\xi) - i\gamma_2(\xi)b_0(\xi)] + c_1(\gamma_2(\xi)) - i\xi c_0(\gamma_2(\xi)) = 0, \quad (19)$$

$$\begin{aligned} d_1(\xi) + i\gamma_2(\xi)d_0(\xi) - e^{-i\gamma_2(\xi)h} [b_1(\xi) + i\gamma_2(\xi)b_0(\xi)] + c_1(-\gamma_2(\xi)) - i\xi c_0(-\gamma_2(\xi)) &= 0, \\ -c_1(\zeta) + i\gamma_2(\zeta)c_0(\zeta) + e^{i\zeta h} [b_1(\gamma_2(\zeta)) - i\zeta b_0(\gamma_2(\zeta))] - d_1(\gamma_2(\zeta)) + i\zeta d_0(\gamma_2(\zeta)) &= 0, \quad \zeta < -k_2, \\ c_1(\zeta) + i\gamma_2(\zeta)c_0(\zeta) - e^{i\zeta h} [b_1(-\gamma_2(\zeta)) - i\zeta b_0(-\gamma_2(\zeta))] + d_1(-\gamma_2(\zeta)) - i\zeta d_0(-\gamma_2(\zeta)) &= 0, \quad \zeta > k_2. \end{aligned} \quad (20)$$

**Теорема 5.** *Любое решение уравнения Гельмгольца в полуполосе можно записать в виде*

$$u(x, z) = \int_{\Gamma} U(\alpha; z) e^{-i\alpha x} d\alpha. \quad (21)$$

Докажем оба этих утверждения. В случае полуполосы уравнение для образа Фурье имеет вид

$$2\pi(k_2^2 - \xi^2 - \zeta^2)u(\xi, \zeta) = c_1(\zeta) - i\xi c_0(\zeta) - e^{i\zeta h} [b_1(\xi) - i\zeta b_0(\xi)] + d_1(\xi) - i\zeta d_0(\xi). \quad (22)$$

Найдем условия на граничные функции, при которых  $u(x, z) = 0$  при  $z < 0$ ,  $z > h$  и  $x < 0$ .

В правой части (22) содержится три группы слагаемых (с общим множителем). В первой группе слагаемых перейдем к преобразам Фурье

$$c_1(\zeta) - i\xi c_0(\zeta) = \frac{1}{\sqrt{2\pi}} \int_0^h [c_1(z_1) - i\xi c_0(z_1)] e^{iz_1 \zeta} dz_1.$$

Поделим на  $k_2^2 - \xi^2 - \zeta^2$  и получим

$$\frac{1}{\sqrt{2\pi}} \int_0^h \frac{c_1(z_1) - i\xi c_0(z_1)}{2\gamma_2(\xi)} \left[ -\frac{1}{\zeta - \gamma_2(\xi)} + \frac{1}{\zeta + \gamma_2(\xi)} \right] e^{iz_1\zeta} dz_1.$$

Вторая и третья группы слагаемых такие же, как в случае полосы. Эти группы после деления на  $k_2^2 - \xi^2 - \zeta^2$  принимают вид

$$\frac{D_1(\xi)}{\zeta - \gamma_2(\xi)} + \frac{D_2(\xi)}{\zeta + \gamma_2(\xi)} - e^{ih\zeta} \frac{B_1(\xi)}{\zeta - \gamma_2(\xi)} - e^{ih\zeta} \frac{B_2(\xi)}{\zeta + \gamma_2(\xi)}.$$

Тогда после обратного преобразования Фурье по  $\zeta \rightarrow z$  имеем

$$\begin{aligned} 2\pi u(\xi, z) = & \int_{-\infty}^{+\infty} \frac{D_1(\xi)}{\zeta - \gamma_2(\xi)} e^{-i\zeta z} d\zeta + \int_{-\infty}^{+\infty} \frac{D_2(\xi)}{\zeta + \gamma_2(\xi)} e^{-i\zeta z} d\zeta - \\ & - \int_{-\infty}^{+\infty} \frac{B_1(\xi)}{\zeta - \gamma_2(\xi)} e^{-i\zeta(z-h)} d\zeta - \int_{-\infty}^{+\infty} \frac{B_2(\xi)}{\zeta + \gamma_2(\xi)} e^{-i\zeta(z-h)} d\zeta + \\ & + \frac{1}{\sqrt{2\pi}} \int_0^h \frac{c_1(z_1) - i\xi c_0(z_1)}{2\gamma_2(\xi)} \left\{ \int_{-\infty}^{+\infty} \left[ -\frac{1}{\zeta - \gamma_2(\xi)} + \frac{1}{\zeta + \gamma_2(\xi)} \right] e^{-i\zeta(z-z_1)} d\zeta \right\} dz_1. \end{aligned}$$

Вычислим интегралы. Получим для  $z < 0$  при  $\xi < -k_2$

$$\begin{aligned} u(\xi, z) = & ie^{-i\gamma_2(\xi)z} \frac{1}{2\gamma_2(\xi)} \times \\ & \times \{ -d_1(\xi) + i\gamma_2(\xi)d_0(\xi) - e^{i\gamma_2(\xi)h}[-b_1(\xi) + i\gamma_2(\xi)b_0(\xi)] - c_1(\gamma_2(\xi)) + i\xi c_0(\gamma_2(\xi)) \} \end{aligned}$$

и при  $\xi > k_2$

$$\begin{aligned} u(\xi, z) = & ie^{i\gamma_2(\xi)z} \frac{1}{2\gamma_2(\xi)} \times \\ & \times \{ d_1(\xi) + i\gamma_2(\xi)d_0(\xi) - e^{-i\gamma_2(\xi)h}[b_1(\xi) + i\gamma_2(\xi)b_0(\xi)] + c_1(-\gamma_2(\xi)) - i\xi c_0(-\gamma_2(\xi)) \}. \end{aligned}$$

Точно так же, для  $z > h$  при  $\xi > -k_2$

$$\begin{aligned} u(\xi, z) = & -ie^{-i\gamma_2(\xi)z} \frac{1}{2\gamma_2(\xi)} \times \\ & \times \{ -d_1(\xi) + i\gamma_2(\xi)d_0(\xi) - e^{i\gamma_2(\xi)h}[-b_1(\xi) + i\gamma_2(\xi)b_0(\xi)] - c_1(\gamma_2(\xi)) + i\xi c_0(\gamma_2(\xi)) \} \end{aligned}$$

и при  $\xi < k_2$

$$\begin{aligned} u(\xi, z) = & -ie^{i\gamma_2(\xi)z} \frac{1}{2\gamma_2(\xi)} \times \\ & \times \{ d_1(\xi) + i\gamma_2(\xi)d_0(\xi) - e^{-i\gamma_2(\xi)h}[b_1(\xi) + i\gamma_2(\xi)b_0(\xi)] + c_1(-\gamma_2(\xi)) - i\xi c_0(-\gamma_2(\xi)) \}. \end{aligned}$$

Поэтому  $u(\xi, z) = 0$  при  $z < 0$  и при  $z > h$  тогда и только тогда, когда выполнены условия (19).

При  $x < 0$  обратные преобразования Фурье выполним в другом порядке. Первую группу слагаемых после деления на полином запишем в виде

$$\frac{C_1(\zeta)}{\xi - \gamma_2(\zeta)} + \frac{C_2(\zeta)}{\xi + \gamma_2(\zeta)}.$$

После обратного преобразования Фурье по  $\xi \rightarrow x$  получим

$$ie^{-i\gamma_2(\zeta)x} C_1(\zeta) \quad \text{при } \zeta < -k_2 \quad \text{и} \quad ie^{i\gamma_2(\zeta)x} C_2(\zeta) \quad \text{при } \zeta > k_2.$$

Во второй группе слагаемых перейдем к преобразам Фурье

$$-e^{ih\zeta} \frac{1}{2\pi\sqrt{2\pi}} \int_0^{+\infty} \frac{b_1(x_1) - i\zeta b_0(x_1)}{2\gamma_2(\zeta)} \left( \int_{-\infty}^{+\infty} \left[ -\frac{1}{\xi - \gamma_2(\zeta)} + \frac{1}{\xi + \gamma_2(\zeta)} \right] e^{-i\xi(x-x_1)} d\xi \right) dx_1.$$

После обратного преобразования Фурье внутренние интегралы (т. к.  $x < 0$ ,  $x_1 > 0$ , то  $x - x_1 < 0$ ) дают

$$-2\pi i e^{-i\gamma_2(\zeta)(x-x_1)} \quad \text{при } \zeta < -k \quad \text{и} \quad 2\pi i e^{i\gamma_2(\zeta)(x-x_1)} \quad \text{при } \zeta > k.$$

Таким же образом преобразуем и третью группу слагаемых. Тогда для  $x < 0$  при  $\zeta < -k_2$

$$u(x, \zeta) = i e^{-i\gamma_2(\zeta)x} \frac{1}{2\gamma_2(\zeta)} \times \\ \times \{ -c_1(\zeta) + i\gamma_2(\zeta)c_0(\zeta) + e^{ih\zeta} [b_1(\gamma_2(\zeta)) - i\zeta b_0(\gamma_2(\zeta))] - d_1(\gamma_2(\zeta)) + i\zeta d_0(\gamma_2(\zeta)) \}$$

и при  $\zeta > k_2$

$$u(x, \zeta) = i e^{i\gamma_2(\zeta)x} \frac{1}{2\gamma_2(\zeta)} \times \\ \times \{ c_1(\zeta) + i\gamma_2(\zeta)c_0(\zeta) - e^{ih\zeta} [b_1(-\gamma_2(\zeta)) - i\zeta b_0(-\gamma_2(\zeta))] + d_1(-\gamma_2(\zeta)) - i\zeta d_0(-\gamma_2(\zeta)) \}.$$

Отсюда следует, что связи между граничными функциями должны иметь вид (20).

Чтобы найти решение задачи при  $x > 0$  и  $0 < z < h$ , образ Фурье искомого решения запишем в виде

$$2\pi u(\xi, \zeta) = \frac{D_1(\xi)}{\zeta - \gamma_2(\xi)} + \frac{D_2(\xi)}{\zeta + \gamma_2(\xi)} - e^{ih\zeta} \frac{B_1(\xi)}{\zeta - \gamma_2(\xi)} - e^{ih\zeta} \frac{B_2(\xi)}{\zeta + \gamma_2(\xi)} + \frac{C_1(\zeta)}{\xi - \gamma_2(\zeta)} + \frac{C_2(\zeta)}{\xi + \gamma_2(\zeta)}$$

и выполним обратные преобразования Фурье (в разном порядке).

Рассмотрим отдельные слагаемые в решении задачи  $u(x, z)$ . Первая пара дробей при  $z > 0$  дает

$$\int_{k_2}^{+\infty} D_1(\xi) e^{-i\gamma_2(\xi)z} e^{-i\xi x} d\xi + \int_{-\infty}^{-k_2} D_2(\xi) e^{i\gamma_2(\xi)z} e^{-i\xi x} d\xi + \\ + \int_{-k_2}^{k_2} [D_1(\xi) e^{-i\gamma_2(\xi)z} + D_2(\xi) e^{i\gamma_2(\xi)z}] e^{-i\xi x} d\xi,$$

вторая пара при  $z < h$  (т.е.  $z - h < 0$ ) —

$$\int_{-\infty}^{-k_2} B_1(\xi) e^{-i\gamma_2(\xi)(z-h)} e^{-i\xi x} d\xi + \int_{k_2}^{+\infty} B_2(\xi) e^{i\gamma_2(\xi)(z-h)} e^{-i\xi x} d\xi$$

и третья пара при  $x > 0$  —

$$\int_{k_2}^{+\infty} C_1(\zeta) e^{-i\gamma_2(\zeta)x} e^{-i\xi z} d\zeta + \int_{-\infty}^{-k_2} C_2(\zeta) e^{i\gamma_2(\zeta)x} e^{-i\xi z} d\zeta + \\ + \int_{-k_2}^{k_2} [C_1(\zeta) e^{-i\gamma_2(\zeta)x} + C_2(\zeta) e^{i\gamma_2(\zeta)x}] e^{-i\xi z} d\zeta.$$

Интегралы, содержащие только распространяющиеся гармоники, можно объединить (так, как это было сделано в случае квадранта)

$$\int_{-k_2}^0 \left\{ \left[ D_1(\alpha) - C_2(\gamma_2(\alpha)) \frac{\alpha}{\gamma_2(\alpha)} \right] e^{-i\gamma_2(\alpha)z} + \left[ D_2(\alpha) - C_2(-\gamma_2(\alpha)) \frac{\alpha}{\gamma_2(\alpha)} \right] e^{i\gamma_2(\alpha)z} \right\} e^{-i\alpha x} d\alpha + \\ + \int_0^{k_2} \left\{ \left[ D_1(\alpha) + C_1(\gamma_2(\alpha)) \frac{\alpha}{\gamma_2(\alpha)} \right] e^{-i\gamma_2(\alpha)z} + \left[ D_2(\alpha) + C_1(-\gamma_2(\alpha)) \frac{\alpha}{\gamma_2(\alpha)} \right] e^{i\gamma_2(\alpha)z} \right\} e^{-i\alpha x} d\alpha.$$

Интегралы по бесконечным промежуткам преобразуются в интегралы по отрицательной мнимой полуоси точно таким же образом, что и в случае четверти плоскости.

Из теорем 3 и 5 следует, что интегральные представления (10) дают общие решения уравнения Гельмгольца в полубесконечных слоистых областях. С одной стороны доказано, что эти

решения могут быть записаны как интегралы по параметру  $\alpha$  (обоснован метод разделения переменных). С другой стороны, представления (10) можно получить из формул (16) и (21), если исключить из условий разрешимости вспомогательных переопределенных задач (теоремы 2 и 4) образы Фурье  $b_0(\xi)$  и  $b_1(\xi)$  и оставить в решении только волны, распространяющиеся вправо.

## 5. Ортогональность мод и потоки энергии

Вернемся к исследованию свойств мод полукрытого волновода, потенциальные функции которых были найдены в п. 2.

Для двух распространяющихся в одном и том же направлении мод с потенциальными функциями  $u(\alpha; x, z)$  и  $u(\beta; x, z)$  определим скалярное произведение через их следы на сечении волновода  $x = 0$  следующим образом:

$$F(\alpha, \beta) = \int_0^{+\infty} f(\alpha; z) f^*(\beta; z) dz, \quad (23)$$

здесь  $*$  — знак комплексного сопряжения. Хотя функции  $f(\alpha; z)$  вещественнозначные, рассмотрим здесь самый общий случай. Для вычисления таких скалярных произведений удобно использовать формулу Грина (знаком  $'$  будем обозначать производную по переменной  $z$ ):

$$\int_0^{+\infty} f(\alpha; z) f^*(\beta; z) dz = \frac{1}{\alpha^2 - \beta^{*2}} \lim_{A \rightarrow +\infty} [f'(\alpha; A) f^*(\beta; A) - f(\alpha; A) f^{*'}(\beta; A)]. \quad (24)$$

Действительно, пусть  $f(\alpha; z)$  и  $f(\beta; z)$  — решения уравнений  $f'' + (k^2 - \alpha^2)f = 0$  и  $f'' + (k^2 - \beta^2)f = 0$  соответственно. Первое уравнение умножим на  $f^*(\beta; z)$  и вычтем из него комплексно-сопряженное ко второму уравнению, умноженное на  $f(\alpha; z)$  (по предположению значения  $k$  вещественные). Получим после ряда элементарных преобразований тождество Лагранжа

$$(f'(\alpha; z) f^*(\beta; z))' - (f(\alpha; z) f^{*'}(\beta; z))' = (\alpha^2 - \beta^{*2}) f(\alpha; z) f^*(\beta; z).$$

Следовательно,

$$(\alpha^2 - \beta^{*2}) \int_0^A f(\alpha; z) f^*(\beta; z) dz = [f'(\alpha; z) f^*(\beta; z) - f(\alpha; z) f^{*'}(\beta; z)] \Big|_{z=0}^{z=A}.$$

При этом нужно учесть, что  $f(\alpha; 0) = 0$  и  $f(\alpha; h+0) = f(\alpha; h-0)$ ,  $f'(\alpha; h+0) = f'(\alpha; h-0)$ .

Из формулы (24) следует

**Теорема 6.** *Моды полукрытого волновода образуют ортогональную систему функций относительно скалярного произведения (23).*

Обозначим также

$$G(\alpha, \beta) = \int_0^{+\infty} f^+(\alpha; z) f^-(\beta; z) dz.$$

В случае волноводных мод

$$F_{kj} = F(\alpha_k, \alpha_j) = \{k \neq j : 0, \quad k = j : N_k = N(\alpha_k)\},$$

где

$$N(\alpha) = \frac{1}{2} \left( h + \frac{1}{\delta_1(\alpha)} \right)$$

и

$$G_{kj} = G(\alpha_k, \alpha_j) = \left( \frac{\delta_1(\alpha_k^+) - \delta_1(\alpha_j^-)}{\gamma_2^{+2}(\alpha_k^+) - \gamma_2^{-2}(\alpha_j^-)} + \frac{1}{\delta_1(\alpha_k^+) + \delta_1(\alpha_j^-)} \right) \sin \gamma_2^+(\alpha_k^+) h \sin \gamma_2^-(\alpha_j^-) h.$$

Вычислим поток энергии моды через поперечное сечение волновода. Среднее по времени значение вектора Пойнтинга

$$\bar{\Pi} = \frac{1}{2} \operatorname{Re}(E_y H_z^*, 0, -E_y H_x^*),$$

как следует из формул (3), имеет единственную ненулевую компоненту

$$\bar{\Pi}_x = \frac{-\operatorname{Re} \alpha}{2\omega\mu_0\mu} |C(\alpha)|^2 |f(\alpha; z)|^2 e^{2\operatorname{Im} \alpha x}.$$

При вещественных  $\alpha$  энергия переносится (вправо при отрицательных  $\alpha$  и влево при положительных), а при чисто мнимых  $\alpha$  — нет. Поток энергии через сечение волновода  $x = 0$  равен

$$P(\alpha) = \frac{-\operatorname{Re} \alpha}{2\omega\mu_0\mu} |C(\alpha)|^2 \int_0^{+\infty} |f(\alpha; z)|^2 dz = \frac{-\operatorname{Re} \alpha}{2\omega\mu_0\mu} |C(\alpha)|^2 N(\alpha).$$

## 6. Вспомогательные переопределенные задачи

Рассмотрим теперь две вспомогательные граничные задачи в правой и в левой половинах полукрытой волноводной структуры (см. рис. 1).

В области  $x > 0$ ,  $z > 0$  нужно найти решение уравнения Гельмгольца с кусочно-постоянным коэффициентом в классе решений, распространяющихся вдоль оси  $x$  (вправо), при граничных условиях

$$u(x, 0+0) = 0, \quad u(0+0, z) = u_0^+(z), \quad \frac{\partial u}{\partial x}(0+0, z) = u_1^+(z).$$

Эта задача переопределенная, т. к. на границе  $x = 0$  условий задано больше, чем нужно.

В силу того, что искомое решение может быть аналитически продолжено в область  $x < 0$ , можно считать, что требуется найти общее представление волн в бесконечном полукрытом волноводе, распространяющихся вправо, по следам потенциальной функции на поперечном сечении  $x = 0$ .

**Теорема 7.** *Решение переопределенной задачи существует тогда и только тогда, когда*

$$u_1^+(z) = \int_0^{+\infty} u_0^+(z_1) K_0^+(z_1, z) dz_1, \quad (25)$$

где

$$K_0^+(z_1, z) = -i \int \frac{\alpha}{N^+(\alpha)} f^+(\alpha; z_1) f^+(\alpha; z) d\alpha$$

или

$$u_0^+(z) = \int_0^{+\infty} u_1^+(z_1) K_1^+(z_1, z) dz_1, \quad (26)$$

где

$$K_1^+(z_1, z) = i \int \frac{1}{\alpha N^+(\alpha)} f^+(\alpha; z_1) f^+(\alpha; z) d\alpha.$$

**Доказательство.** Из формулы (10) следует

$$u_0^+(z) = \int C^+(\alpha) f^+(\alpha; z) d\alpha, \quad u_1^+(z) = -i \int \alpha C^+(\alpha) f^+(\alpha; z) d\alpha.$$

Получим связь между этими функциями с помощью свойства ортогональности мод. Легко видеть, что

$$C^+(\alpha) = \frac{1}{N^+(\alpha)} \int_0^{+\infty} u_0^+(z_1) f^+(\alpha; z_1) dz_1 \quad (27)$$

и тогда

$$u_1^+(z) = - \int_0^{+\infty} \alpha \left( \frac{1}{N^+(\alpha)} \int_0^{+\infty} u_0^+(z_1) f^+(\alpha; z_1) dz_1 \right) f^+(\alpha; z) dz = \int_0^{+\infty} u_0^+(z_1) K_0^+(z_1, z) dz_1.$$

С другой стороны,

$$C^+(\alpha) = \frac{i}{\alpha N^+(\alpha)} \int_0^{+\infty} u_1^+(z_1) f^+(\alpha; z_1) dz_1.$$

Вторая вспомогательная задача ставится аналогично. В области  $x < 0$ ,  $z > 0$  нужно найти решение уравнения Гельмгольца с кусочно-постоянным коэффициентом в классе решений, распространяющихся влево, при граничных условиях

$$u(x, 0) = 0, \quad u(0, z) = u_0^-(z), \quad \frac{\partial u}{\partial x}(0, z) = u_1^-(z).$$

Ясно, что в случае волны, распространяющейся в направлении, противоположном направлению оси  $x$ , нужно изменить знак в правых частях формул (25) и (26). Тогда условия разрешимости этой задачи имеют вид

$$u_1^-(z) = - \int_0^{+\infty} u_0^-(z_1) K_0^-(z, z_1) dz_1, \quad u_0^-(z) = - \int_0^{+\infty} u_1^-(z_1) K_1^-(z, z_1) dz_1. \quad (28)$$

Для волны, падающей из области  $x < 0$  на стык, имеем

$$u_1^0(z) = \int_0^{+\infty} u_0^0(z_1) K_0^-(z, z_1) dz_1, \quad u_0^0(z) = \int_0^{+\infty} u_1^0(z_1) K_1^-(z, z_1) dz_1. \quad (29)$$

## 7. Интегральные уравнения задачи сопряжения

Задача сопряжения двух полубесконечных полуоткрытых волноводов с помощью полученных в п.6 связей (25), (26), (28) и (29) между граничными функциями во вспомогательных граничных задачах может быть сведена к интегральным уравнениям различного вида.

Интегральные уравнения можно получить относительно любой из граничных функций. Например, непосредственно из условий сопряжения (4) следует

$$\int_0^{+\infty} u_0^+(z_1) [K_0^+(z, z_1) + K_0^-(z, z_1)] dz_1 = 2u_1^0(z), \quad z \in (0, +\infty). \quad (30)$$

Получим интегральное уравнение 2-го рода относительно функции  $u_1^+(z)$  в ходе следующих рассуждений:

$$\begin{aligned} u_1^+(z) &= u_1^0(z) + u_1^-(z) = u_1^0(z) - \int_0^{+\infty} u_0^-(z_1) K_0^-(z_1, z) dz_1 = \\ &= u_1^0(z) - \int_0^{+\infty} [u_0^+(z_1) - u_0^0(z_1)] K_0^-(z_1, z) dz_1 = 2u_1^0(z) - \int_0^{+\infty} u_0^+(z_1) K_0^-(z_1, z) dz_1 = \\ &= 2u_1^0(z) - \int_0^{+\infty} \left( \int_0^{+\infty} u_1^+(z_2) K_1^+(z_2, z_1) dz_2 \right) K_0^-(z_1, z) dz_1. \end{aligned}$$

Таким образом,

$$u_1^+(z) = 2u_1^0(z) - \int_0^{+\infty} u_1^+(z_2) L(z_2, z) dz_2, \quad (31)$$

где

$$L(z_2, z) = \int_0^{+\infty} K_1^+(z_2, z_1) K_0^-(z_1, z) dz_1.$$

Удобнее в качестве неизвестной функции рассматривать, например,  $C^+(\alpha)$  на  $\mathbb{R}^+$ . Соответствующее интегральное уравнение легко получить из (31), т. к.

$$C^+(\alpha) = \frac{i}{\alpha N^+(\alpha)} \int_0^{+\infty} u_1^+(z_1) f^+(\alpha; z_1) dz_1.$$

Но можно это уравнение вывести и независимо. Действительно, из (27) и первого условия сопряжения

$$C^+(\alpha) = \frac{1}{N^+(\alpha)} \int_0^{+\infty} [u_0^0(z) + u_0^-(z)] f^+(\alpha; z) dz.$$

Из (28) и второго условия сопряжения

$$C^+(\alpha) = \frac{1}{N^+(\alpha)} \int_0^{+\infty} u_0^0(z) f^+(\alpha; z) dz + \\ + \frac{1}{N^+(\alpha)} \int_0^{+\infty} \left( - \int_0^{+\infty} [u_1^+(z_1) - u_1^0(z_1)] K_1^-(z, z_1) dz_1 \right) f^+(\alpha; z) dz.$$

В силу (29) первое слагаемое в правой части удваивается, а второе преобразуется к виду

$$- \frac{1}{N^+(\alpha)} \int_0^{+\infty} \int_0^{+\infty} \left( -i \int_{\mathbb{R}^+} \alpha_1 C^+(\alpha_1) f^+(\alpha_1; z_1) d\alpha_1 \right) \times \\ \times \left( i \int_{\mathbb{R}^+} \frac{1}{\alpha_2 N^-(\alpha_2)} f^-(\alpha_2; z_1) f^-(\alpha_2; z) d\alpha_2 \right) f^+(\alpha; z) dz.$$

Следовательно,

$$C^+(\alpha) = \frac{2}{N^+(\alpha)} \int_0^{+\infty} u_0^0(z) f^+(\alpha; z) dz - \frac{1}{N^+(\alpha)} \int_{\mathbb{R}^+} C^+(\alpha_1) M(\alpha, \alpha_1) d\alpha_1, \quad \alpha \in \mathbb{R}^+, \quad (32)$$

где

$$M(\alpha, \alpha_1) = \alpha_1 \int_{\mathbb{R}^+} \frac{1}{\alpha_2 N^-(\alpha_2)} G(\alpha, \alpha_2) G(\alpha_1, \alpha_2) d\alpha_2.$$

Таким образом, имеет место

**Теорема 8.** *Задача сопряжения двух полубесконечных полукрытых волноводов равносильна интегральному уравнению (30) ((31) или (32)).*

## 8. Приближение волноводных мод

Интегральное уравнение (32) существенно упрощается, если при решении задачи сопряжения волноводов учитывать только волноводные моды дискретного спектра. Предположим, что на стык волноводов набегают слева собственная волна с номером  $l$ , ее потенциальная функция

$$u^0(x, z) = C_l^0 f^-(\alpha_l^-; z) e^{-i\alpha_l^- x}.$$

Будем искать потенциальные функции рассеянного поля в виде

$$u^+(x, z) = \sum_{j=1}^{n^+} C_j^+ f^+(\alpha_j^+; z) e^{-i\alpha_j^+ x}, \quad u^-(x, z) = \sum_{j=1}^{n^-} C_j^- f^-(\alpha_j^-; z) e^{i\alpha_j^- x}.$$



Для поля, распространяющегося в правом полубесконечном волноводе, при  $x \rightarrow +0$

$$u_0^+(z) = \sum_{j=1}^{n^+} C_j^+ f^+(\alpha_j^+; z), \quad u_1^+(z) = -i \sum_{j=1}^{n^+} C_j^+ \alpha_j^+ f^+(\alpha_j^+; z).$$

Из условия ортогональности волноводных мод следует

$$\int_0^{+\infty} u_0^+(z_1) f^+(\alpha_k^+; z_1) dz_1 = N_k^+ C_k^+, \quad \int_0^{+\infty} u_1^+(z_1) f^+(\alpha_k^+; z_1) dz_1 = -i \alpha_k^+ N_k^+ C_k^+. \quad (33)$$

Связь между граничными функциями вспомогательной переопределенной задачи имеет вид (25), (26), где

$$K_0^+(z_1, z) = -i \sum_{j=1}^{n^+} \frac{\alpha_j^+}{N_j^+} f^+(\alpha_j^+; z_1) f^+(\alpha_j^+; z), \quad K_1^+(z_1, z) = i \sum_{j=1}^{n^+} \frac{1}{\alpha_j^+ N_j^+} f^+(\alpha_j^+; z_1) f^+(\alpha_j^+; z).$$

Аналогично в формулах (28)

$$K_0^-(z_1, z) = -i \sum_{j=1}^{n^-} \frac{\alpha_j^-}{N_j^-} f^-(\alpha_j^-; z_1) f^-(\alpha_j^-; z), \quad K_1^-(z_1, z) = i \sum_{j=1}^{n^-} \frac{1}{\alpha_j^- N_j^-} f^-(\alpha_j^-; z_1) f^-(\alpha_j^-; z).$$

Для падающей волны

$$u_0^0(z) = C_l^0 f^-(\alpha_l^-; z), \quad u_1^0(z) = -i C_l^0 \alpha_l^- f^-(\alpha_l^-; z).$$

Легко видеть, что интегральные тождества (29) сводятся в рассматриваемом частном случае к простым равенствам

$$u_1^0(z) = -i \alpha_l^- u_0^0(z), \quad u_0^0(z) = \frac{i}{\alpha_l^-} u_1^0(z).$$

**Теорема 9.** В приближении волноводных мод задача сопряжения полукрытых волноводов эквивалентна системе линейных алгебраических уравнений

$$N_k^+ C_k^+ + \sum_{j=1}^{n^+} \left( \alpha_j^+ \sum_{m=1}^{n^-} \frac{G_{jm} G_{km}}{\alpha_m^- N_m^-} \right) C_j^+ = 2 G_{kl} C_l^0, \quad k = 1, \dots, n^+. \quad (34)$$

**Доказательство.** По аналогии с рассуждениями предыдущего пункта, из (33) и первого условия сопряжения

$$C_k^+ = \frac{1}{N_k^+} \int_0^{+\infty} u_0^+(z) f^+(\alpha_k^+; z) dz = \frac{1}{N_k^+} \int_0^{+\infty} [u_0^0(z) + u_0^-(z)] f^+(\alpha_k^+; z) dz,$$

здесь

$$\int_0^{+\infty} u_0^0(z) f^+(\alpha_k^+; z) dz = G_{kl} C_l^0.$$

Из второго условия сопряжения и условия (28) следует

$$\int_0^{+\infty} u_0^-(z) f^+(\alpha_k^+; z) dz = \int_0^{+\infty} \left( - \int_0^{+\infty} [u_1^+(z) - u_1^0(z)] K_1^-(z_1, z) dz_1 \right) f^+(\alpha_k^+; z) dz.$$

Но

$$\int_0^{+\infty} u_1^0(z) K_1^-(z, z_1) dz = u_0^0(z)$$

и

$$\int_0^{+\infty} \int_0^{+\infty} \left( -i \sum_{j=1}^{n^+} C_j^+ \alpha_j^+ f^+(\alpha_j^+; z_1) \right) \left( i \sum_{m=1}^{n^-} \frac{1}{\alpha_m^- N_m^-} f^-(\alpha_m^-; z_1) f^-(\alpha_m^-; z) \right) f^+(\alpha_k^+; z) dz dz_1 =$$

$$= \sum_{j=1}^{n^+} C_j^+ \alpha_j^+ \sum_{m=1}^{n^-} \frac{1}{\alpha_m^- N_m^-} \int_0^{+\infty} f^+(\alpha_j^+; z_1) f^-(\alpha_m^-; z_1) dz_1 \int_0^{+\infty} f^+(\alpha_k^+; z) f^-(\alpha_m^-; z) dz.$$

Поэтому

$$C_k^+ = \frac{2}{N_k^+} G_{kl} C_l^0 - \frac{1}{N_k^+} \sum_{j=1}^{n^+} C_j^+ \alpha_j^+ \sum_{m=1}^{n^-} \frac{1}{\alpha_m^- N_m^-} G_{jm} G_{km}, \quad k = 1, \dots, n^+.$$

Как показал вычислительный эксперимент, решение СЛАУ (34) дает приближенное решение задачи сопряжения с хорошей точностью (пока приближение волноводных мод имеет физический смысл).

## Литература

1. Гончаренко А.М., Карпенко В.А. *Основы теории оптических волноводов*. – М.: Едиториал УРСС, 2004. – 240 с.
2. Маркузе Д. *Оптические волноводы*. – М.: Мир, 1974. – 574 с.
3. *Введение в интегральную оптику* / Под ред. М. Барноски. – М.: Мир, 1977. – 368 с.
4. *Интегральная оптика* / Под ред. Т. Тамира. – М.: Мир, 1978. – 344 с.
5. Адамс М. *Введение в теорию оптических волноводов*. – М.: Мир, 1984. – 512 с.
6. Clarricoats P.I.B., Sharpe A.B. *Modal matching applied to a discontinuity in a planar surface waveguide* // *Electr. Lett.* – 1972. – V. 8. – № 1. – P. 28–32.
7. Hockham G.A., Sharpe A.B. *Dielectric-waveguide discontinuities* // *Electr. Lett.* – 1972. – V. 8. – № 9. – P. 230–231.
8. Карпенко В.А. *Дифракция поверхностных волн на стыке двух тонкопленочных волноводов* // Докл. АН БССР. – 1977. – Т. 21. – № 8. – С. 687–690.
9. Rozzi T.E. *Rigorous analysis of the step discontinuity in a planar dielectric waveguide* // *IEEE Trans. Microwave Theory and Techn.* – 1978. – V. 26. – № 10. – P. 738–746.
10. Плещинский Н.Б., Тумаков Д.Н. *Метод частичных областей для скалярных координатных задач дифракции электромагнитных волн в классах обобщенных функций* // Препринт 2000-1. Казанское матем. об-во. – Казань, 2000. – 50 с.
11. Плещинская И.Е., Плещинский Н.Б. *Переопределенные граничные задачи для эллиптических уравнений с частными производными и их применение в теории дифракции волн* // Учен. зап. Казанск. ун-та. – 2005. – Т. 147. – Кн. 3. – С. 4–32.
12. Тумаков Д.Н. *Задачи сопряжения решений уравнения Гельмгольца в координатных областях*. – Дис. ... канд. физ.-матем. наук. – Казань, 2002. – 127 с.
13. Курант Р., Гильберт Д. *Методы математической физики*. Т. 1. – М.–Л.: ГИТТЛ, 1951. – 476 с.
14. Плещинский Н.Б., Тумаков Д.Н. *Граничные задачи для уравнения Гельмгольца в квадранте и в полуплоскости, составленной из двух квадрантов* // *Изв. вузов. Математика*. – 2004. – № 7. – С. 63–74.
15. Махер А., Плещинский Н.Б. *Задача о скачке для уравнения Гельмгольца в плоскосолюистой среде и ее приложения* // *Изв. вузов. Математика*. – 2002. – № 1. – С. 45–56.

Казанский государственный  
университет

Поступила  
31.10.2006